



Encapsulation of curcumin by chia seed protein and mucilage hydrogels: Evaluation of stability and kinetic release

Maryam Nafar¹ | Mehdi Varidi¹ | Zahra Emam-Djomeh² | Seyed Vali Hosseini³

1. Department of Food Science and Technology, Faculty of Agriculture, Mashhad Ferdowsi University, Mashhad, Iran.

E-mail: m.nafar@mail.um.ac.ir

2. Department of Food Science and Technology, Faculty of Agriculture, Mashhad Ferdowsi University, Mashhad, Iran.

E-mail: m.varidi@um.ac.ir

3. Corresponding Author, Department of Food Science, Technology and Engineering, College of Agriculture and Natural Resources, University of Tehran, Karaj, Iran. E-mail: emamj@ut.ac.ir

4. Department of Fisheries, College of Agriculture & Natural Resources, University of Tehran, Karaj, Iran. E-mail: hosseinisv@ut.ac.ir

Article Info

ABSTRACT

Article type: Research Article

Article history:

Received: Feb. 24, 2024

Revised: Aug. 19, 2024

Accepted: Sep. 10, 2024

Published online: Spring 2024

Keywords:

***Chia seed protein,*
Controlled release,
Curcumin,
*Mucilage***

Curcumin as a natural hydrophobic compound has anti-microbial and anti-cancer properties, but its low stability and high sensitivity have limited the bioavailability of this compound. The purpose of this research is to design chia seed protein and mucilage hydrogel for curcumin encapsulation. The encapsulation of this compound in the hydrogel structure can be an effective way to protect this compound during digestion in the digestive tract. For this purpose, first, hydrogel protein and mucilage 12.5% , which was optimized in terms of texture characteristics. The release behavior of curcumin in two conditions of stomach and intestine simulation for protein and mucilage 7.5% and 12.5% hydrogels were evaluated. The results showed that curcumin loaded in hydrogel protein and mucilage 12.5% has a better stability to free curcumin during heat and optical operations. The results related to the controlled release in laboratory conditions indicated that the total amount of curcumin release during gastric-intestinal digestion was 60.71% for the sample containing 7.5% protein and mucilage and 27.30% for the sample containing 12.5% protein and mucilage. As a result, the release rate of curcumin decreased with the increase of mucilage concentration in the simulated conditions of the stomach and intestine, which can show the good ability of combined hydrogels to protect curcumin in gastrointestinal conditions and deliver it to the colon. The release behavior of curcumin in the gastrointestinal tract was of the Fickian release type.

Cite this article: Nafar, M., Varidi, M., Emam-Djomeh, Z., Hosseini, S. V., (2024) Encapsulation of curcumin by chia seed protein and mucilage hydrogels: Evaluation of stability and kinetic release, *Iranian Journal of Biosystem Engineering*, 55 (1), 33-49. <https://doi.org/10.22059/ijbse.2024.372951.665539>

© The Author(s).

Publisher: The University of Tehran Press.

DOI: <https://doi.org/10.22059/ijbse.2024.372951.665539>



درون پوشانی کورکومین با هیدروژل‌های پروتئین و موسیلاز دانه چیا: ارزیابی پایداری و کیتیک رهایش

مریم نفر^۱ | مهدی وریدی^۲ | زهرا امام جمعه^{۲*} | سید ولی حسینی^۴

۱. گروه علوم و صنایع غذایی، دانشکده کشاورزی، دانشگاه فردوسی مشهد، مشهد، ایران. رایانامه: m.nafar@mail.um.ac.ir

۲. گروه علوم و صنایع غذایی، دانشکده کشاورزی، دانشگاه فردوسی مشهد، مشهد، ایران. رایانامه: m.varidi@um.ac.ir

۳. نویسنده مسئول، گروه علوم و مهندسی صنایع غذایی، پردیس کشاورزی و منابع طبیعی، دانشگاه تهران، کرج، ایران. رایانامه: emamj@ut.ac.ir

۴. گروه شیلات، دانشکده کشاورزی و منابع طبیعی، دانشگاه تهران، کرج، ایران. رایانامه: hosseinisv@ut.ac.ir

چکیده

اطلاعات مقاله

کورکومین به عنوان یک ترکیب طبیعی هیدروفوب دارای خواص ضد میکروبی و ضد سرطانی می‌باشد، اما پایداری کم و حساسیت بالای آن باعث محدودیت زیست‌弗راهمی این ترکیب شده است. هدف از این ترکیب در ساختار هیدروژل پروتئین و موسیلاز دانه چیا چهت درون پوشانی کورکومین است. درون پوشانی این ترکیب در ساختار هیدروژل، می‌تواند روشی موثر برای محافظت این ترکیب طی شرایط هضم دستگاه گوارشی باشد. به همین منظور ابتدا هیدروژل پروتئین و موسیلاز ۱۲/۵ درصد از نظر خصوصیات باقی بماند. رفتار رهایش کورکومین در دو شرایط شبیه‌سازی معده و روده برای هیدروژل‌های پروتئین و موسیلاز ۷/۵ درصد و ۱۲/۵ درصد مورد ارزیابی قرار گرفتند. نتایج نشان داد که کورکومین با رگذاری شده در هیدروژل پروتئین و موسیلاز ۱۲/۵ درصد، پایداری بهتری نسبت به کورکومین آزاد در طول عملیات حرارتی و نوری دارد. نتایج مربوط به رهایش کنترل شده در شرایط آزمایشگاهی نشان داد که مقدار کلی رهایش کورکومین در طی هضم معده - روده‌ای برای نمونه حاوی ۷/۵ درصد پروتئین و موسیلاز، ۶۰/۷۱ درصد و برای نمونه حاوی ۱۲/۵ درصد پروتئین و موسیلاز، ۲۷/۳۰ درصد بود، در نتیجه سرعت رهایش کورکومین با افزایش غلظت موسیلاز در شرایط شبیه‌سازی شده معده و روده کاهش یافت که می‌تواند نشان دهنده توانایی خوب هیدروژل‌های ترکیبی برای حفاظت از کورکومین در شرایط معده-روده و رسانش آن به روده بزرگ باشد. رفتار رهایش کورکومین در شرایط دستگاه گوارش از نوع انتشار فیکی بود.

نوع مقاله: مقاله پژوهشی

تاریخ دریافت: ۱۴۰۲/۱۲/۵

تاریخ بازنگری: ۱۴۰۳/۵/۲۹

تاریخ پذیرش: ۱۴۰۳/۶/۲۰

تاریخ انتشار: بهار ۱۴۰۳

واژه‌های کلیدی:

پروتئین دانه چیا،

رهایش کنترل شده،

کورکومین موسیلاز

استناد: نفر؛ مریم، وریدی؛ مهدی، امام جمعه؛ زهرا، حسینی؛ سیدولی (۱۴۰۳) درون پوشانی کورکومین با هیدروژل‌های پروتئین و موسیلاز دانه چیا: ارزیابی پایداری و کیتیک رهایش، مجله مهندسی بیوسیستم ایران، ۵۵(۱)، ۴۹-۳۳.

<https://doi.org/10.22059/ijbse.2024.372951.665539>

نویسنده‌اندگان: ©

ناشر: مؤسسه انتشارات دانشگاه تهران.

DOI: <https://doi.org/10.22059/ijbse.2024.372951.665539>



مقدمه

کورکومین به عنوان یک ترکیب زیستفعال چربی‌دست دارای خواص سلامتی‌بخش ویژه‌ای می‌باشد اما به دلیل ویژگی‌های همچون حلالیت بسیار پایین در محیط آبی، حساسیت به شرایط محیطی بهویژه دما، نور، pH و زیست‌فراهمی کم در سیستم گوارشی، کاربرد این ماده در صنایع غذایی محدود شده است (موسوی بایگی و همکاران، ۱۴۰، ۲). بر اساس تحقیقات انجام شده در مورد کورکومین، مهمترین چالش این ترکیب رسانش آن در بدن است. بنابراین، به عنوان یک ماده هیدروفوب و حساس به pH باید حاملی برای آن طراحی شود که هم هیدروفوب و هم هیدروفیل باشد و همچنین نسبت به pH معده مقاومت داشته باشد. به منظور پایداری و بهبود دسترسی زیستی کورکومین، از ترکیباتی چون میسل‌ها، لیپوزوم‌ها، امولسیون‌ها، ذرات لیپیدی جامد و ذرات بیوپلیمری استفاده شده است (Zheng et al., 2020). از معایب روش‌های فوق، می‌توان به راندمان پایین، پیچیده بودن فرآیند، عدم تبخیر کامل حلال، هزینه تولید بالا و نیمه عمر پایین، ظرفیت کم درون‌پوشانی، استعداد بالای اکسیداسیون و هیدرولیز اشاره کرد. استفاده از هیدروژل‌ها، یکی از ساده‌ترین، ارزان‌ترین و قابل Rafiee کنترل‌ترین روش‌های پوشش‌دهی کورکومین است. هیدروژل‌ها، شبکه‌های پلیمری آبدوست، سه‌بعدی و با اتصالات عرضی هستند (et al., 2018). در سال‌های اخیر توجه جهانی به گسترش محصولات بر پایه پروتئین گیاهی در حال افزایش است که علت آن پایداری، هزینه کمتر، کاهش خطر شیوع بیماری‌های گوناگون و دلایل فرهنگی می‌باشد (Kim et al., 2014). دانه چیا، از بهترین و غنی‌ترین منابع پروتئین گیاهی و یک عامل ژل‌ساز است. از ارزش‌های اقتصادی پروتئین چیا می‌توان به مواردی همچون پروتئینی نسبتاً کامل، دارای ۹ اسید آمینه ضروری شامل: لیزین، لوسین، ایزولوسین، والین، فنیل‌آلانین، تریپتوفان، هیستیدین، ترئونین و متیونین و مناسب برای بیماران سلیاکی به علت نداشتن گلوتن اشاره کرد (Katumzi-Kilewela et al., 2021). همچنین به علت داشتن خواص عملکردی خوب و تشکیل ژل می‌تواند کاربرد زیادی در صنایع غذایی و دارویی داشته باشد (Katumzi-Kilewela et al., 2021). با توجه به اینکه پروتئین دانه چیا به عنوان هیدروژل استفاده شده است اما مطالعات نشان می‌دهد که هیدروژل حاصله از استحکام چندانی برخوردار نمی‌باشد. لذا در این پژوهش، این هیدروژل با استفاده از موسیلاز دانه چیا استحکام بخشیده شده است. موسیلاز یک هتروپلی‌ساقارید آبدوست است (Hsieh et al., 2022). این ترکیب به عنوان یک تراوش طبیعی در محلول آبی است که می‌تواند تا چندین برابر وزن خود آب جذب کند. پس از هیدراتاسیون، یک محلول ژلاتینی تشکیل می‌شود و قدرت ژل را افزایش می‌دهد (Katumzi-Kilewela et al., 2021). از موسیلاز می‌توان به عنوان تثبیت‌کننده، غلیظ‌کننده، قوام‌دهنده و امولسیون‌گیر در صنایع غذایی استفاده کرد (Hsieh et al., 2022). موسیلاز دانه چیا به عنوان عامل قوام‌دهنده در شکل‌گیری هیدروژل نقش دارد. با توجه به موارد فوق، هدف از این پژوهش بررسی پایداری کورکومین در شرایط محیطی بهویژه نور و دما و ارزیابی دسترسی زیستی از طریق بهداشت‌دازی در هیدروژل در شرایط سیستم شبیه‌سازی شده معده و روده است. در این پژوهش، ابتدا شرایط فرآیند تولید هیدروژل پروتئین و موسیلاز ۱۲/۵ درصد حاوی کورکومین بهینه شد و سپس خصوصیات هیدروژل بهینه شده بررسی گردید و رهایش آن تحت شرایط شبیه‌سازی معده و روده مورد ارزیابی قرار گرفت.

مواد و روش‌ها

دانه‌های چیا از شرکت جام نور طلایی ایران تهیه گردید. کورکومین با درصد خلوص بالای ۹۶ درصد از شرکت بایوبسیک (کانادا)، پی‌سین، پانکراتین و سدیم کلرید از شرکت سیگما آلدريچ^۱ (آمریکا)، اتانول ۹۶ درصد از شرکت هامون طب مرکزی (ایران)، اسیدهیدروکلریک ۳۷ درصد، اسیدسیتیریک، اسیدبوریک و اسیدسولفوریک ۹۸ درصد از شرکت دکتر مجللی (ایران)، مونوپتاسیم فسفات از شرکت مرک^۲ (آلمان)، متانول، هگزان نرمال و سدیم‌هیدروکسید (NaOH) از شرکت باراد (ایران) تهیه شدند.

استخراج و خالص‌سازی موسیلاز

در ابتدا آب شهری با نسبت یک به پنج (حجمی / وزنی) به دانه‌های چیا اضافه شد، سپس در دمای اتاق و به مدت یک ساعت به کمک همزن دستی Philips HR1577، ساخت کشور چین) هم‌زده شدند، جداسازی دانه‌های متورم احاطه شده با لایه ژل مانند از طریق فیلتر کردن با خلا و بواسطه مش (۱۰۰ میکرومتر) در ۳۲۰ مگاپار انجام شد. سپس محلول موسیلاز توسط اوپرатор تحت خلا (Bocchi-R-215، ساخت کشور سوئیس) در ۵۵ درجه سلسیوس تغییض شد (Marin Flores, 2008).

ماده خشک موسیلاز غلیظ حدود

۱/۶۱ ± ۳/۲۰٪ به دست آورده شد.

استخراج ایزوله پروتئین

ابتدا آرد دانه چیا با استفاده از دستگاه آسیاب آزمایشگاهی (Moulinex AR100)، ساخت کشور چین) و عبور از مش با اندازه منافذ ۵/۰ میلی متر تهیه شد. آرد حاصل حذف چربی به نسبت ۱ به ۵ (وزنی / حجمی) با هگزان نرمال مخلوط گردید و به مدت یک ساعت در دمای آزمایشگاه و توسط همزن مغناطیسی، چربی کیری شد. سپس این مخلوط به مدت ۱۵ دقیقه با دور ۸۰۰۰ g و دمای ۴ درجه سلسیوس، سانتریفیوژ (Partazma، ساخت کشور ایران) شد (Boye et al., 2010). آرد فاقد چربی و موسیلاز با نسبت یک به بیست (وزنی / حجمی) با آب مقطر مخلوط شد و توسط محلول سود یک نرمال به pH = ۱۲ رسانده شد. این سوسپانسیون به مدت یک ساعت روی همزن (Stewart، ساخت کشور انگلستان) مخلوط شد و با دور ۱۰۰۰۰ g به مدت ۳۰ دقیقه در دمای اتاق ۲۵ درجه سلسیوس (Partazma) سانتریفیوژ (Partazma)، ساخت کشور ایران) گردید. سپس محلول شفاف جدا شده با استفاده از اسیدسیتریک ۲ مولار، به pH = ۳ رسانده شد و به مدت یک شب در دمای یخچال (۷-۴ درجه سلسیوس) نگهداری شد سپس رسوب اسیدی در دور ۷۰۰۰ g به مدت ۱۵ دقیقه سانتریفیوژ شد. رسوب سانتریفیوژ با آب مقطر دیونیزه سه بار شتشو شد و توسط خشک کردن انجام داده شد (Wang et al., 2016).

اندازه گیری میزان پروتئین به روش کلدار

در این روش، اندازه گیری نیتروژن کل به سه مرحله کلی هضم، تقطیر و تیتراسیون تقسیم بندی شد. به منظور برآورد درصد نیتروژن ابتدا نمونه مورد نظر توسط اسید سولفوریک هضم شد و نیتروژن موجود به سولفات آمونیوم تبدیل شد. سپس نیتروژن موجود در سولفات آمونیوم به صورت آمونیاک آزاد و توسط اسیدبوریک به بورات آمونیوم تبدیل شد و با استفاده از اسیدسولفوریک ۱/۰ نرمال تیتر شد و آنگاه با محاسبه اسید مصرفی، مقدار نیتروژن به دست آورده شد. سپس مقدار نیتروژن در فاکتور پروتئین که ۶/۲۵ است، ضرب شد (سزپلازا و همکاران، ۲۰۱۳). در این تحقیق برای تعیین مقدار پروتئین، از دستگاه کلدار (KJELTEC AUTO1030 Analyzer، Tekator) ساخت کشور سوئد استفاده شد.

با استفاده از این روش، از ۲۰۰ گرم آرد فاقد چربی، $۵۷/۶۸ \pm ۰/۰۱$ درصد پروتئین و $۹/۲۲$ درصد نیتروژن، با سه بار تکرار بدست آورده شد. از ضریب $۲/۲۵$ برای تبدیل نیتروژن تمام به پروتئین استفاده شد (سزپلازا و همکاران، ۲۰۱۳).

آماده سازی محلول پروتئین، موسیلاز و کورکومین حل شده در اتانول آبی ۵۰ درصد

ابتدا محلول مادر پروتئین در غلظت های $۷/۵$ ، ۱۰ ، ۱۵ ، ۲۰ ، ۲۵ درصد وزنی / وزنی (Aliabbasi et al., 2021) به وسیله اضافه کردن آب مقطر به پودر تهیه شد و سپس pH محلول توسط سود ۱ مولار بر روی $۱۲/۰ \pm ۰/۱۲$ تنظیم شد. همچنین با اضافه کردن محلول مادر موسیلاز دانه چیا تعییل شده در غلظت های $۷/۵$ ، ۱۰ ، ۱۵ ، ۲۰ درصد وزنی / وزنی در دمای اتاق و همزنی به مدت ۲ ساعت (۱۲۰۰ rpm) محلول پروتئین و موسیلاز تهیه شد. سپس به منظور آب دار شدن کامل مولکول های پروتئین و موسیلاز، به مدت یک شب در دمای یخچال (۷-۴ درجه سلسیوس) نگهداری شدند. روز بعد، محلول پروتئین و موسیلاز در ۹۰ درجه سلسیوس به مدت ۲۰ دقیقه حرارت داده شد. سپس دمای ظرفها با استفاده از آب شهری به دمای اتاق کاهش داده شد (Aliabbasi et al., 2021). کورکومین (۸۰ میلی گرم بر میلی لیتر) در اتانول آبی ۵۰ درصد حل شد و با نسبت کورکومین نهایی به پروتئین $۳۵۰: ۱$ (وزنی / وزنی) به محلول پروتئین و موسیلاز اضافه شد و به مدت یک ساعت هم زده شد (دمای محیط، $pH=7$). به منظور جلوگیری از تخرب نوری کورکومین، ظرف حاوی نمونه توسط فویل الومینیومی پوشیده شد (Alavi et al., 2018). در نهایت ظرف حاوی نمونه به مدت یک شب در دمای یخچال (۷-۴ درجه سلسیوس) نگهداری و ژل تشکیل شد (Aliabbasi et al., 2021).

نحوه ساخت هیدروژل ها

فرآیند ژلاسیون سرما بند شامل دو مرحله است: در ابتدا محلول پروتئین و موسیلاز، در ۹۰ درجه سلسیوس و به مدت ۲۰ دقیقه حرارت داده شدند. دمای ظرفها با استفاده از آب شهری به دمای اتاق کاهش داده شد. سپس ظرف حاوی نمونه به مدت یک شب در دمای یخچال (۷-۴ درجه سلسیوس) نگهداری و ژل تشکیل شد (Aliabbasi et al., 2021).

با استفاده از پروتئین (۲۰، ۲۵، ۱۲/۵، ۱۰، ۱۵درصد) و موسیلاز (۷/۵، ۱۰، ۱۲/۵، ۱۰، ۱۵درصد) ساخته شدند و هیدروژل‌های پروتئین (۲۰، ۲۵، ۳۰درصد) با استفاده از پروتئین (۲۰، ۲۵، ۳۰درصد) ساخته شدند.

جدول ۱- درصد پروتئین و موسیلاز مورد استفاده جهت تولید هیدروژل‌ها

ردیف	حروف اختصاری	تیمار (نمونه)	درصد موسیلاز	درصد پروتئین
۱	HPM7.5%	هیدروژل پروتئین و موسیلاز ۷/۵ درصد	۷/۵	۷/۵
۲	HPM10%	هیدروژل پروتئین و موسیلاز ۱۰ درصد	۱۰	۱۰
۳	HPM12.5%	هیدروژل پروتئین و موسیلاز ۱۲/۵ درصد	۱۲/۵	۱۲/۵
۴	HPM15%	هیدروژل پروتئین و موسیلاز ۱۵درصد	۱۵	۱۵
۵	HP20%	هیدروژل پروتئین ۲۰ درصد	۲۰	۲۰
۶	HP25%	هیدروژل پروتئین ۲۵ درصد	۲۵	۲۵
۷	HP30%	هیدروژل پروتئین ۳۰ درصد	۳۰	۳۰

تجزیه و تحلیل مشخصات بافت (TPA)

دو مرحله فشردن متوالی به نمونه‌های استوانه‌ای (۴۷ در ۱۱ میلی‌متر) توسط پروب استوانه‌ای با قطر ۵۰ میلی‌متر، توسط دستگاه بافت سنج (Brookfield CT)، ساخت کشور ایالات متحده آمریکا) اعمال شد. این پروب استوانه‌ای ۱۰۰۰ / TA5 با سرعت ۱ میلی‌متر بر ثانیه به سمت پایین حرکت کرد (Kazemi-Taskooh et al., 2021). با درصد فشردگی ۵۰ درصد انجام شدند (Aliabbasi et al., 2021). از عامل‌های مورد سنجش این آزمون، سفتی (Hardness)، انسجام (Springness) و قابلیت جویدن (Cohesiveness) (Liu et al., 2018) بودند (Chewness). تمام محاسبات براساس میانگین ۳ تکرار در هر تیمار انجام شد. در ضمن بافت هیدروژل‌ها از نظر سفتی، پیوستگی و قابلیت جویدن هیدروژل‌ها در بخش نتایج در قسمت تجزیه و تحلیل بافت هیدروژل‌ها بررسی و مقایسه شد.

پایداری فیزیکی کورکومین در هیدروژل‌ها

پایداری رسوب کورکومین بارگذاری شده در هیدروژل پروتئین و موسیلاز با یک دستگاه سانتریفیوژ (Partazma، ساخت کشور ایران) مشخص شد. از نیروی گریز از مرکز، برای تسريع کردن میزان رسوب استفاده شد. ۰/۰ گرم از نمونه‌ها در ۲ میلی‌لیتر اتانول (۶۶ درصد) حل شد و با دور ۳۰۰۰ ۳۰۰۰ به مدت ۱۵ ثانیه سانتریفیوژ شد. سپس جذب نمونه‌ها توسط دستگاه اسپکتروفوتومتر UV-VIS، سسیل (CE2502) ساخت کشور انگلستان در طول موج ۴۲۰ نانومتر خوانده شد. این فرآیند در فواصل زمانی ۰، ۱۰۰۰، ۲۰۰۰، ۳۰۰۰، ۴۰۰۰، ۵۰۰۰، ۷۲۰۰ ۷۲۰۰ ثانیه و درجه حرارت ۲۵ درجه سلسیوس انجام شد (Guo et al., 2020).

ثبات نوری کورکومین و پایداری حرارتی کورکومین در هیدروژل‌ها قابلیت پایداری نوری کورکومین با استفاده از لامپ یووی (فیلیپس Actinic BL TL-D)، ساخت کشور لهستان) پس از ۱۵، ۳۰، ۴۵، ۶۰، ۷۵ و ۹۰ دقیقه قرار گرفتن در معرض نور یووی ۳۵ درجه سلسیوس، ۰/۳۵ وات بر متر مربع) مورد ارزیابی قرار گرفت و پایداری حرارتی کورکومین، با قرار دادن نمونه‌ها در حمام آب (۸۵ درجه سلسیوس و ۹۰ دقیقه) اندازه‌گیری شد. ۰/۰ گرم از نمونه‌ها در فاصله زمانی ۱۵ دقیقه، در ۲ میلی‌لیتر اتانول ۶۶ درصد حل شد و با دور ۵، ۵۰۰۰ ۵ دقیقه سانتریفیوژ شد و جذب نمونه‌ها توسط دستگاه اسپکتروفوتومتر UV – VIS (CE2502)، سسیل (Guo et al., 2020).

درصد ماندگاری کورکومین پس از نور و عملیات حرارتی با رابطه^۱ تعیین شد:

$$\text{رابطه } ۱: \frac{\text{محتوای باقیمانده کورکومین}}{\text{محتوای اولیه کورکومین}} = \frac{\text{درصد ماندگاری کورکومین}}{۱۰۰} \times$$

بررسی پایداری کورکومین در هیدروژل‌ها در شرایط اسیدی معده هیدروژل‌های حاوی کورکومین تحت شرایط اسیدی (pH=۳) و دمای ۵۵ درجه سلسیوس به مدت ۱۴ روز انکوبه شدند (Zheng et al., 2018).

(2017). بعد از ۱۴ روز، مقدار مشخصی از هیدروژل‌های حاوی کورکومین (۱۰۰ میلی‌گرم) از بالای ژل گرفته شد و در ۱۰ میلی‌لیتر اتانول رقیق حل شد، صوتدهی با توان ۲۰۰ وات، فرکانس ۲۴ هرتز به مدت دو دقیقه انجام شد. سپس مخلوطها در ۴۰۰۰ به مدت ۲۰ دقیقه سانتریفیوژ شدند و با اسپکتروفتوомتر در ۴۲۶ نانومتر تجزیه و تحلیل شدند و با استفاده از رابطه^۲ (Alavi et al., 2018) محاسبه شدند.

$$\text{رابطه } ^2: \frac{\text{مقدار کل کورکومین در ژل پیش محلول}}{\text{مقدار کورکومین در بالای ژل}} \times 100\% = \text{کورکومین} (%)$$

تعیین اندازه ذرات هیدروژل

جهت تعیین اندازه ذرات هیدروژل، در ابتدا ژل بالک رقیق‌سازی شد. بدین منظور ۴۰ میلی‌گرم نمونه هیدروژل حاوی ۱۲/۵ درصد پروتئین، کورکومین و موسیلاژ، با استفاده از آب مقطر (pH=۷) ۱۰۰۰ برابر رقیق شد (به صورت سوپاپانسیون معلق است). سپس میانگین قطر حجمی هیدروژل حاوی ۱۲/۵ درصد پروتئین، کورکومین و موسیلاژ، بالافاصله پس از آماده‌سازی توسط دستگاه تشخیص‌دهنده پراش نوری دینامیک (DLS) (مدل SZ-100z شرکت Horiba Jobin Jyovin از کشور ایالات متحده آمریکا) در دمای ۲۵ درجه سلسیوس و با زاویه ۹۰ درجه اندازه‌گیری شد. بهمنظور جلوگیری از پراکنش متعدد ذرات (Scattering Multiple) هیدروژل فوق با استفاده از آب مقطر (pH=۷) ۱۰۰۰ برابر رقیق شد. متوسط اندازه ذرات بر اساس قطر حجمی ذرات (D_{4,3}) و رابطه^۳ (Maltais et al., 2005) در سه تکرار محاسبه شد.

$$\text{رابطه } ^3: D_{4,3} = \frac{\sum n_i d_i^4}{\sum n_i d_i^3}$$

$$d_i = \text{تعداد قطرات با قطر } n_i$$

بررسی رهایش کورکومین در شرایط معده روده

در ابتدا محلول هضم به روش زیر تهیه شد: ۲ گرم کلرید سدیم در ۱۰۰۰ میلی‌لیتر آب مقطر حل شد و ۷ میلی‌لیتر اسید هیدروکلریک ۳۷ درصد به محلول اضافه و در pH=۱/۲ تنظیم شد. به محلول به دست آمده ۳/۲ گرم در لیتر پیسین اضافه شد که به آن، محلول هضم معده (SGF) گویند (جالالی، ۱۳۹۷). ۶/۸ گرم مونوبازیک فسفات پتابسیم در ۲۵۰ میلی‌لیتر آب مقطر دوبار تقطیر حل شد و سپس ۱۹۰ میلی‌لیتر از سدیم هیدروکسید ۲/۰ مولار به ۴۰۰ میلی‌لیتر آب مقطر دوبار تقطیر اضافه شد. pH محلول در ۷/۵ تنظیم شد و محلول به حجم یک لیتر رسانده شد و ۱۰ گرم بر لیتر پانکراتین به محلول اضافه شد که به این محلول، محلول هضم روده (SIF) گویند (جالالی، ۱۳۹۷). حجم مشخصی از محلول کورکومین درون‌پوشانی شده (کمتر از ۵ میلی‌متر) درون کیسه‌های دیالیز (با وزن مولکولی ۱۲۰۰۰ دالتون) ریخته شد و درون بشر حاوی ۵۰٪ اتانول و ۵۰٪ محلول هضم در دمای ۳۷ درجه سلسیوس قرار داده شد. همچنان که محلول درون بشر در حال همزده شدن بود (جالالی، ۱۳۹۷) به مدت ۳ ساعت (محیط شبیه‌سازی شده معده) و به مدت ۵ ساعت (محیط شبیه‌سازی شده روده) قرار گرفت و جذب توسط دستگاه اسپکتروفتوومتر VIS-UV در طول موج ۴۲۰ نانومتر خوانده شد (Maltais et al., 2005).

بررسی رهایش کورکومین با رابطه^۴ (Maltais et al., 2005) در صورت روده شد.

$$\text{رابطه } ^4: \frac{\text{مقدار کل کورکومین قبل از هضم}}{\text{مقدار کورکومین بعد از هضم}} \times 100\% = \text{کورکومین} (%)$$

طیف کورکومین در هیدروژل‌های هضم شده با اسپکتروفتوومتر فلورسانس اندازه‌گیری شد (Alavi et al., 2018).

انواع مدل سازی رهایش

انتشار مرتبه صفر: رابطه^۵

Zero – order equation: $F = k_0 t$

انتشار مرتبه اول: رابطه^۶

First – order equation: $F = 100 \times [1 - \exp(-k_1 t)]$

انتشار هیگوچی: رابطه^۷

Higuchi 's model: $F = K_H \times t^{1/2}$

Korsmeyer – Peppas model: $F = k_{kp} \times t^n$ انتشار کرسمیر پیاس: رابطه^۸
که در آن (F) کسری از کورکومین آزاد شده در زمان t و (K) ثابت مرتبه صفر، ثابت مرتبه اول، ثابت آزادسازی و (n) توان آزادسازی هستند.

طرح آماری و تجزیه و تحلیل داده‌ها

هفت تیمار بدست آمده با درصد پروتئین و موسیلاز (۷/۵، ۱۰، ۱۲/۵، ۱۵، ۲۵ درصد)، با درصد پروتئین (۲۰، ۲۵ و ۳۰ درصد)، به صورت طرح کاملاً تصادفی ارزیابی شدند. تجزیه و تحلیل آماری به کمک نرم افزار SPSS (ویرایش ۲۶، NY Amerika)، از طریق آنالیز واریانس یک طرفه و آزمون مقایسه میانگین چند دامنه‌ای دانکن در سطح معنی‌داری ۰/۰۵ صورت پذیرفت. تمامی آزمون‌ها با سه تکرار انجام شدند. تمامی داده‌ها به صورت میانگین ± انحراف استاندارد گزارش شدند.

نتایج و بحث

تجزیه و تحلیل بافت هیدروژل‌ها

تجزیه و تحلیل پروفایل بافت (TPA) شامل سفتی^۱، پیوستگی^۲، فنریت^۳ و قابلیت جویدن^۴ نمونه‌های هیدروژل مورد بررسی قرار گرفتند. نتایج تجزیه و تحلیل TPA هیدروژل‌های پروتئین و هیدروژل‌های پروتئین و موسیلاز چیا در جدول (۲) نشان داده شده است. سفتی معادل بیشترین نیرویی است که در اولین فشردنگی به ماده غذایی وارد می‌شود و در منحنی پروفایل آنالیز بافت معادل ارتفاع اولین پیک می‌باشد و استحکام یک هیدروژل را نشان می‌دهد (Saha et al., 2010).

فنریت یا قابلیت ارتجاج: گاهی به الاستیسیته ربط داده می‌شود (Saha et al., 2010). شاخصی برای میزان لاستیکی بودن ژل و ارزیابی تخریب ساختار بافت ژل در فشردنگی اولیه در دهان است. قابلیت ارتجاج به نوع صمغ و غلظت صمغ (موسیلاز) بستگی دارد (Saha et al., 2010).

انسجام بافت (پیوستگی): انسجام ژل به معنای اندازه‌گیری میزان انرژی لازم برای شکستن ساختار داخلی ژل می‌باشد (Sanderson et al., 1990).

قابلیت جویدن نمونه‌ها از خرب سفتی در فنریت و پیوستگی بدست آمد. مطابق جدول (۲)، بالاترین سفتی، پیوستگی و قابلیت جویدن، به نمونه با ۱۲/۵ درصد غلظت پروتئین و موسیلاز تعلق داشت. نمونه حاوی ۲۰ درصد پروتئین دارای کمترین سفتی (۰/۰۴ ± ۰/۴۸)، پیوستگی (۰/۰۳ ± ۰/۰۴) و قابلیت جویدن (۰/۰ ± ۰/۰۰) بود. تمامی پارامترهای مربوط به TPA شامل سفتی از (۰/۰۴ ± ۰/۰۸)، پیوستگی از (۰/۰۳ ± ۰/۰۷) و قابلیت جویدن از (۰/۰۰ ± ۰/۰۱) ژل با افزایش محتوا پروتئین از ۲۰ به ۳۰ درصد افزایش یافت. با افزایش غلظت پروتئین، ساختار شبکه ای ژل متراکم‌تر شد و سبب ایجاد برهمکنش‌های پروتئین – پروتئین قوی‌تری بین مولکول‌های پروتئین در طی تشکیل شبکه ژل گردید (Yang et al., 2017). در مطالعه دل‌آرام و همکاران (۱۴۰۲) در هیدروژل‌های آماده شده از پروتئین آب پنیر، سفتی، پیوستگی و قابلیت جویدن بافت با افزایش غلظت پروتئین از ۵ درصد به ۷ درصد افزایش یافت. این افزایش می‌تواند بهدلیل افزایش برهمکنش‌های غیرکووالانسی (گروه‌های آب‌گریز) پروتئین‌های دناتوره شده باشد که منجر به تشکیل شبکه و افزایش سفتی هیدروژل می‌شود (Kuhn et al., 2010).

با افزایش غلظت موسیلاز از ۷/۵ درصد به ۱۲/۵ درصد، سفتی از (۰/۰۹۵ ± ۰/۰۹) به (۰/۰۸ ± ۰/۰۱)، پیوستگی از (۰/۰۷۵ ± ۰/۰۹) به (۰/۰۸ ± ۰/۰۶) و قابلیت جویدن از (۰/۰۱ ± ۰/۰۰) به (۰/۰۲ ± ۰/۰۲) هیدروژل بهبود یافت. در مطالعه دل‌آرام و همکاران (۱۴۰۲) در هیدروژل‌های آماده شده از پروتئین آب پنیر، سفتی، پیوستگی و قابلیت جویدن بافت با افزایش غلظت پروتئین از ۱۵ درصد به ۱۲/۵ درصد، سفتی نمونه‌های هیدروژل از (۰/۰۸ ± ۰/۰۷) تیوتون به (۰/۰۶ ± ۰/۰۷) نیوتون کاهش یافت که با نتایج آنالیز به دست آمده مطابقت دارد. در هیدروژل‌های پروتئین و موسیلاز، ضعیفترین

هیدروژل از نظر سفتی (0.06 ± 0.070)، هیدروژل پروتئین و موسيلاز ۱۵ درصد بود. نمونه شاهد حاوی ۲۰ گرم پروتئین، بافت ضعیفتری نسبت به نمونه‌های حاوی موسيلاز داشت و دستگاه با این تنظیمات، داده‌ای برای ما گزارش نکرد. در این پژوهش طبق جدول (۲) مشاهده شد که بالاترین سفتی (0.075 ± 0.08)، پیوستگی (0.058 ± 0.06) و قابلیت جویدن (0.082 ± 0.05) به نمونه با ۱۲/۵ درصد موسيلاز و پروتئین متعلق بود.

جدول ۲. اثر غلظت پروتئین بر خصوصیات بافتی در هیدروژل‌های پروتئین و موسيلاز (HPM)

نمونه	نمونه	نمونه	نمونه	نمونه	نمونه
HPM 7.50%	HPM 10%	HPM 12.50%	HPM 15%	HP 20%	HP 25%
0.095 ± 0.09^{ab}	0.080 ± 0.07^b	0.075 ± 0.08^a	0.070 ± 0.06^b	0.048 ± 0.04^c	0.070 ± 0.05^b
0.09 ± 0.1^c	0.08 ± 0.07^d	0.070 ± 0.05^b	0.06 ± 0.05^c	0.040 ± 0.04^c	0.070 ± 0.05^b
0.018 ± 0.01^e	0.017 ± 0.01^b	0.015 ± 0.01^a	0.014 ± 0.01^b	0.012 ± 0.01^e	0.011 ± 0.01^b
0.01 ± 0.00^d	0.008 ± 0.00^e	0.006 ± 0.00^d	0.004 ± 0.00^e	0.003 ± 0.00^e	0.002 ± 0.00^e

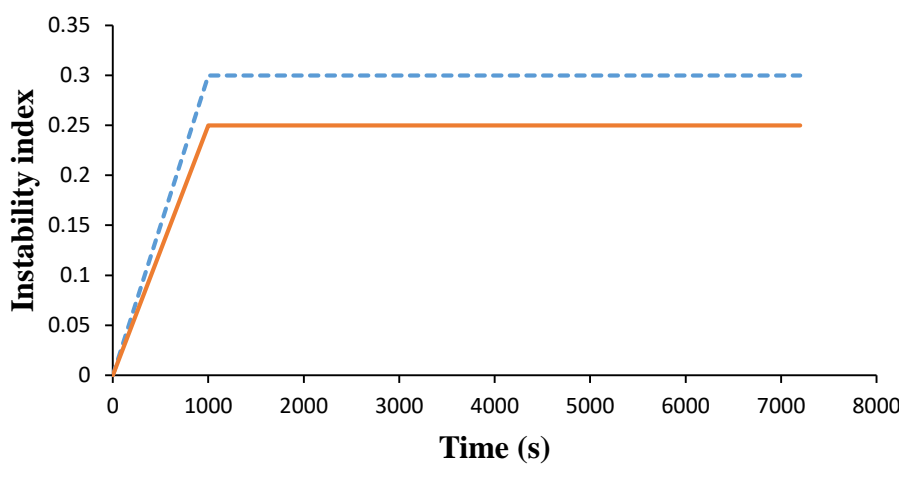
حروف متفاوت در داده‌های هر ستون نشان گر اختلاف آماری معنی‌دار میانگین‌هاست ($P<0.05$).

کارایی درونپوشانی و مقدار بارگذاری کورکومین در هیدروژل پروتئین و موسيلاز ۱۲/۵ درصد

در این پژوهش بارگذاری کورکومین در هیدروژل ۱۲/۵ درصد موسيلاز و پروتئین، به دلیل استحکام مکانیکی خوب انجام شد. کارایی درونپوشانی کورکومین در هیدروژل پروتئین و موسيلاز ۱۲/۵ درصد، 0.090 ± 0.015 درصد بود. مقدار بارگذاری کورکومین در هیدروژل پروتئین و موسيلاز ۱۲/۵ درصد، 0.076 ± 0.008 میکروگرم کورکومین در هر میلی‌گرم پروتئین بود که نشان می‌دهد حدود 0.90 درصد کورکومین در هیدروژل پروتئین و موسيلاز ۱۲/۵ درصد درونپوشانی شد. در پژوهشی، مقدار بارگذاری کورکومین برای میکروژل پروتئین آب پنیر 0.46 ± 0.017 میکروگرم کورکومین در هر میلی‌گرم پروتئین و کارایی درونپوشانی کورکومین برای میکروژل پروتئین آب پنیر 0.90 درصد بودند (Mohammadian et al., 2019).

پایداری فیزیکی کورکومین در هیدروژل پروتئین و موسيلاز ۱۲/۵ درصد

همان‌طور که در شکل (۱) نشان داده شده است، شاخص ناپایداری در زمان‌های در زمان‌های کمتر از ۱۰۰۰ ثانیه، به سرعت افزایش یافت و سپس به ثبات نسبی رسید. همراستا با این نتایج گوا و همکاران (۲۰۲۰) گزارش کردند که شاخص ناپایداری در زمان‌های کمتر از ۱۰۰۰ ثانیه به سرعت افزایش یافت و سپس به ثبات نسبی رسید.

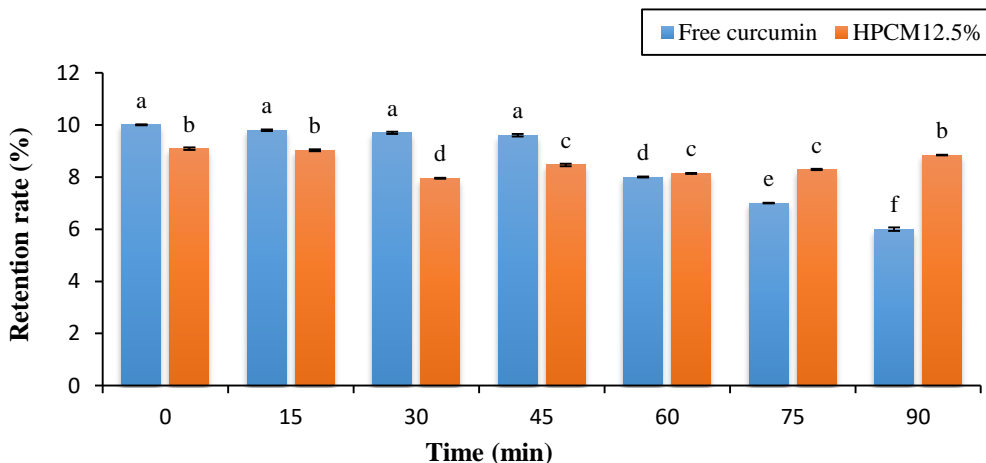


شکل ۱. پایداری فیزیکی کورکومین در هیدروژل پروتئین و موسيلاز ۱۲/۵ درصد

شاخص بی ثباتی هیدروژل پروتئین، کورکومین و موسیلاز $12/5$ درصد، $0/01 \pm 0/01$ و شاخص بی ثباتی کورکومین آزاد $\pm 0/01$ شد و در فواصل زمانی 7200 ثانیه، تغییری در شاخص بی ثباتی مشاهده نشد. به طور کلی، شاخص ناپایداری کوچکتر به معنای ثبات بهتر می‌باشد (Xu et al., 2016). در پژوهشی، شاخص بی ثباتی کمپلکس‌های پروتئین ایزوله نخود – کورکومین، $0/02 \pm 0/02$ و پروتئین ایزوله نخود – کورکومین – رامنولیپید $1:3$ ، $0/01 \pm 0/01$ بودند و در فواصل زمانی 7200 ثانیه، تغییری در شاخص بی ثباتی مشاهده نشد (Guo et al., 2020). در پژوهش حاضر، شاخص ناپایداری هیدروژل پروتئین، کورکومین و موسیلاز $12/5$ درصد کوچکتر از شاخص ناپایداری کورکومین آزاد شد که نشان دهنده ثبات بهتر کورکومین در هیدروژل پروتئین و موسیلاز $12/5$ درصد است.

ثبات نوری کورکومین در هیدروژل پروتئین و موسیلاز $12/5$ درصد

کورکومین به نور حساس می‌باشد و توسط نور مرئی سریع‌تر از نور UV تخریب می‌گردد (Ansari et al., 2005). همان‌طور که در شکل (۲) نشان داده شده است، از لحظه شروع آزمون تا 45 دقیقه همواره ثبات نوری کورکومین آزاد بیشتر از کورکومین در هیدروژل بوده است. این ثبات نوری می‌تواند به دلیل شرایط تابش کم نور UV باشد (Appendino et al., 2022). در مطالعه‌ای که توسط لی و همکاران (۲۰۱۳) انجام شد تغییرات در پایداری شیمیایی و زیست‌فعالی کورکومین توسط اشعه UV مورد بررسی قرار گرفت. تخریب کورکومین در آب یا فسفات بافر سالین تحت تابش UV (254 نانومتر) تسريع شد. سطوح باقیمانده کورکومین پس از 24 ساعت تابش UV به ترتیب $16/8$ و $36/9$ درصد بود (Lee et al., 2013). در شکل (۲) ثبات نوری کورکومین آزاد و بارگذاری شده در هیدروژل پروتئین و موسیلاز $12/5$ درصد نشان داده شده است. در لحظه صفر، درصد ماندگاری کورکومین آزاد، 10 درصد و هیدروژل پروتئین کورکومین موسیلاز $12/5$ درصد، 9 درصد بود ولی در پژوهشی که توسط گوا و همکاران (۲۰۲۰) انجام شد در لحظه صفر، درصد ماندگاری کورکومین آزاد و بقیه نمونه‌ها، 100 درصد بود و با افزایش زمان، درصد ماندگاری کورکومین آزاد و بقیه نمونه‌ها کاهش یافت.



شکل ۲. ثبات نوری کورکومین آزاد و بارگذاری شده در هیدروژل پروتئین و موسیلاز $12/5$ درصد میانگین‌های دارای حروف لاتین مشترک در سطح احتمال 5 درصد تفاوت معنی دار ندارند.

درصد ماندگاری کورکومین آزاد بعد از 15 دقیقه تابش نور یووی به سرعت به ($0/03 \pm 0/08\%$) کاهش یافت که نشان می‌دهد بیشتر کورکومین در مدت کوتاهی تخریب شده است. تخریب سریع کورکومین با تخریب حلقه‌های آروماتیک توسط نور همراء بود (Liu et al., 2018). بعد از 90 دقیقه تابش نور یووی، درصد ماندگاری کورکومین به تدریج به ($0/07 \pm 0/07\%$) کاهش یافت. با این حال، برای محافظت بهتر از کورکومین، در هیدروژل پروتئین و موسیلاز $12/5$ درصد، کورکومین بارگذاری شد. بعد از 90 دقیقه تابش نور یووی، درصد ماندگاری کورکومین بارگذاری شده در هیدروژل پروتئین و موسیلاز $12/5$ درصد ($0/01 \pm 0/01\%$) شد. همراستا با این نتایج (Guo et al., 2020) گزارش کردند که درصد ماندگاری کورکومین بارگذاری شده در کمپلکس پروتئین ایزوله نخود – کورکومین – رامنولیپید $1:3$ بعد از 90 دقیقه تابش نور یووی، ($0/01 \pm 0/01\%$) بود و درصد ماندگاری کورکومین بارگذاری شده در کمپلکس پروتئین ایزوله نخود بعد از 90 دقیقه تابش نور یووی، ($0/01 \pm 0/01\%$) بود. بنابراین، کورکومین در کمپلکس پروتئین ایزوله

نخود-کورکومین-رامنولبید^{۱:۳} پایدارتر بود. این پدیده را می‌توان اینگونه توضیح داد که رامنولبید با تغییر ساختار حوزه‌های آبگریز در مولکول‌های پروتئین ایزوله نخود می‌تواند قرارگیری حلقه‌های آروماتیک در این مولکول‌ها را آسان‌تر کند، بنابراین، حلقه‌های آروماتیک بیشتری از کورکومین می‌توانند توسط پروتئین ایزوله نخود محافظت شود (Guo et al., 2020).

در پژوهشی که توسط مقدسی‌فریمانی و همکاران، ۱۳۹۷ انجام شد، برای اثبات ثبات نانوامولسیون کورکومین تهیه شده از اسپکتروفوتومتر UV-VIS در محدوده طول موج ۳۵۰-۵۵۰ نانومتر استفاده شد. طیف UV-VIS امولسیون تهیه شده پیک جذبی با حداکثر جذب در ۴۲۵ نانومتر و پیک کوچک شانه در حدود ۴۴۵ نانومتر نشان داده شد. این جذب می‌تواند به تحریک نوع $\pi-\pi$ سیستم آروماتیک گسترش یافته مربوط باشد. خصوصیت تغییرات شدت در مورد حداکثر پیک جذبی ۴۲۵ نانومتر برای ارزیابی ثبات نانوامولسیون کورکومین در $pH = 7$ تهیه شد. یک کاهش جزئی در حداکثر جذب بعد از یک ماه و مقدار بیشتر بعد از سه ماه دلیل بر ثبات نانوامولسیون تهیه شده بود (مقدسی‌فریمانی و همکاران، ۱۳۹۷).

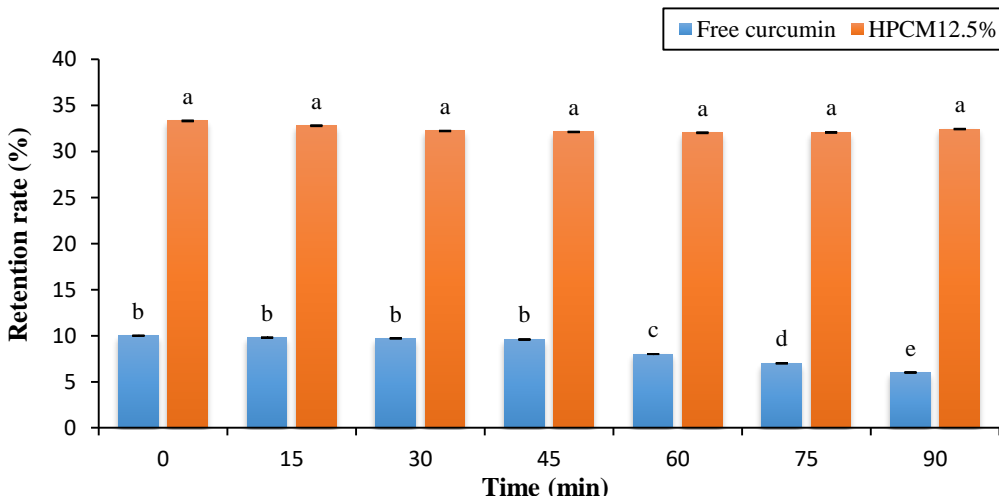
پایداری حرارتی کورکومین در هیدروژل پروتئین و موسیلاز ۱۲/۵ درصد

در شکل (۳)، کورکومین آزاد در شرایط حرارتی در بی‌ثباتی بالای نشان داده است. در لحظه صفر، درصد ماندگاری کورکومین آزاد، ۱۰ درصد و هیدروژل پروتئین کورکومین موسیلاز ۱۲/۵ درصد، ۳۳ درصد بود اما در پژوهشی که توسط گوا و همکاران (۲۰۲۰) انجام شد در لحظه صفر، درصد ماندگاری کورکومین آزاد و بقیه نمونه‌ها، ۱۰۰ درصد بود و با افزایش زمان، درصد ماندگاری کورکومین آزاد و بقیه نمونه‌ها کاهش یافت.

کورکومین بارگذاری شده در هیدروژل پروتئین و موسیلاز ۱۲/۵ درصد، پایداری بهتری نسبت به کورکومین آزاد در حین عملیات حرارتی بعد از ۶۰ دقیقه اول نشان داد. این نتیجه ممکن است به وجود پیوندهای هیدروژنی بین مولکول‌های پروتئین دانه چیا و کورکومین مرتبط باشد (Peng et al., 2010). درصد ماندگاری کورکومین در هیدروژل پروتئین و موسیلاز، از زمان صفر دقیقه تا زمان ۹۰ دقیقه از $\pm 0/0.5$ $\pm 0/0.3$ $\pm 0/0.3$ $\pm 0/0.3$ $\pm 0/0.3$ $\pm 0/0.3$ $\pm 0/0.3$ $\pm 0/0.3$ رسید که نشان می‌دهد درصد ماندگاری کورکومین در هیدروژل پروتئین و موسیلاز، با افزایش زمان به شدت کاهش یافت. بعد از ۹۰ دقیقه عملیات حرارتی فقط ($0/0.3 \pm 0/0.3$ درصد) کورکومین تخریب شد. در حالی که اثر محافظت کورکومین در هیدروژل پروتئین و موسیلاز ۱۲/۵ درصد آشکارتر بود. هم‌راستا با این نتایج گوا و همکاران (۲۰۲۰) گزارش کردند که در کمپلکس پروتئین ایزوله نخود-کورکومین-رامنولبید^{۱:۳} بعد از ۹۰ دقیقه عملیات حرارتی، فقط ($0/0.3 \pm 0/0.3$ درصد) کورکومین تخریب شد (Guo et al., 2020).

کورکومین در کمپلکس پروتئین ایزوله نخود بعد از ۹۰ دقیقه عملیات

حرارتی، ($0/0.5 \pm 0/0.5$ درصد) بود (Guo et al., 2020). دوره طولانی عملیات حرارتی ممکن است منجر به قرارگرفتن گروه‌های جانبی غیرقطبی بیشتری در اثر حرارت شود، بنابراین ممکن است تخریب کورکومین بیشتر شود (Guo et al., 2020). در مطالعه‌ای که توسط وانگ و همکاران (۲۰۲۱) انجام شد در کمپلکس کورکومین-پروتئین سویا، پایداری حرارتی و پایداری نوری بهبود یافت (Wang et al., 2021).



شکل ۳. پایداری حرارتی کورکومین آزاد و بارگذاری شده در هیدروژل پروتئین و موسیلاز ۱۲/۵ درصد میانگین‌های دارای حروف لاتین مشترک در سطح احتمال ۵ درصد تفاوت معنی دار ندارند.

پایداری کورکومین در برابر شرایط اسیدی معده

نتایج تحقیق نشان داد که کورکومین تحت شرایط اسیدی پایدار است. درصد پایداری کورکومین در هیدروژل پروتئین و موسیلاز ۱۲/۵ درصد، ۹۰/۸ درصد شد. مطابق با این نتایج، علوی و همکاران (۲۰۱۸) مشاهده کردند که پایداری کورکومین در هیدروژل پروتئین آب پنیر با ۱/۰ درصد وزنی / وزنی کاپا – کاراگینان، ۹۲ درصد و در هیدروژل پروتئین آب پنیر با ۰/۵۵ درصد وزنی / وزنی کاپا – کاراگینان، ۱۰۰ درصد بودند (Alavi et al., 2018).

تعیین اندازه ذرات

نتایج مربوط به تجزیه و تحلیل اندازه ذرات هیدروژل‌های حاوی ۱۲/۵ درصد پروتئین و موسیلاز به شرح جدول (۳) به دست آمد. پس از فرآیند حرارت دادن در pH = ۷/۳ (pH) در هیدروژل پروتئین، کورکومین و موسیلاز ۱۲/۵ درصد، قطر میانگین حجمی تعدادی ذرات، در طی زمان کاهش یافت. با این حال، شاخص پراکندگی محلول هیدروژل پروتئین و موسیلاز به طور قابل توجهی تحت تاثیر بارگذاری کورکومین قرار گرفت ($p < 0.05$). افزایش غلظت پروتئین و افزایش ویسکوزیته فاز پیوسته، منجر به کاهش بازده همگنسازی و افزایش قطر میانگین ذرات شد. اندازه ذرات ایزوله پروتئین لوبيا چیتی (PBI) و لوبيا چیتی انباشته حرارتی (TA – PBI) پس از فرآیند حرارت دادن در pH = ۷/۳ (pH) به طور قابل توجهی افزایش یافت. عملیات حرارتی معمولاً برای بهبود ویژگی‌های عملکردی پروتئین‌ها از طریق اصلاح ساختار پروتئین استفاده شد. این تغییرات ساختاری شامل باز شدن ساختار سوم اولیه پروتئین و بر این اساس، تجمع پروتئین است (Aliabbasi et al., 2021).

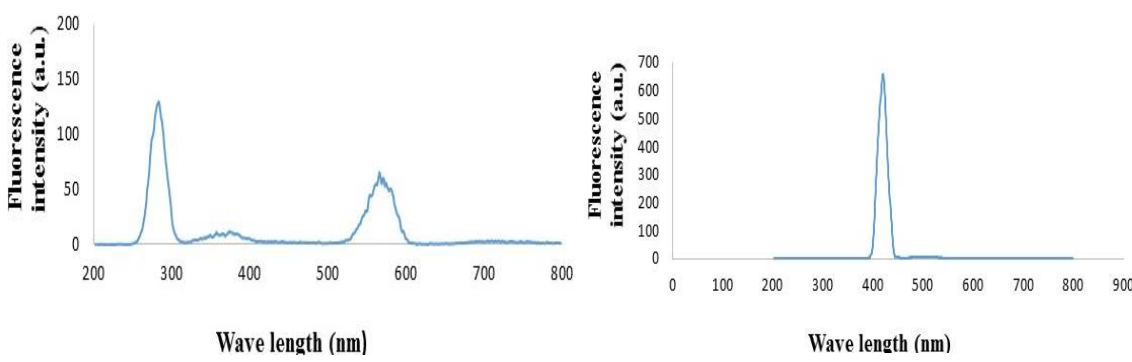
جدول ۳. اندازه ذرات هیدروژل پروتئین، کورکومین، موسیلاز ۱۲/۵ درصد (HPCM 12.5%)

نمونه	میانگین قطر بر حسب تعداد (نانومتر)	میانگین قطر بر حسب حجم (نانومتر)	شاخص پراکندگی
HPCM 12.5%	۴۰.۹/۶۶±۱۱۵۴/۳۰	۲۰.۶/۷۱±۱۵۳۸/۰.۵	۰/۳۱±۰/۳۳

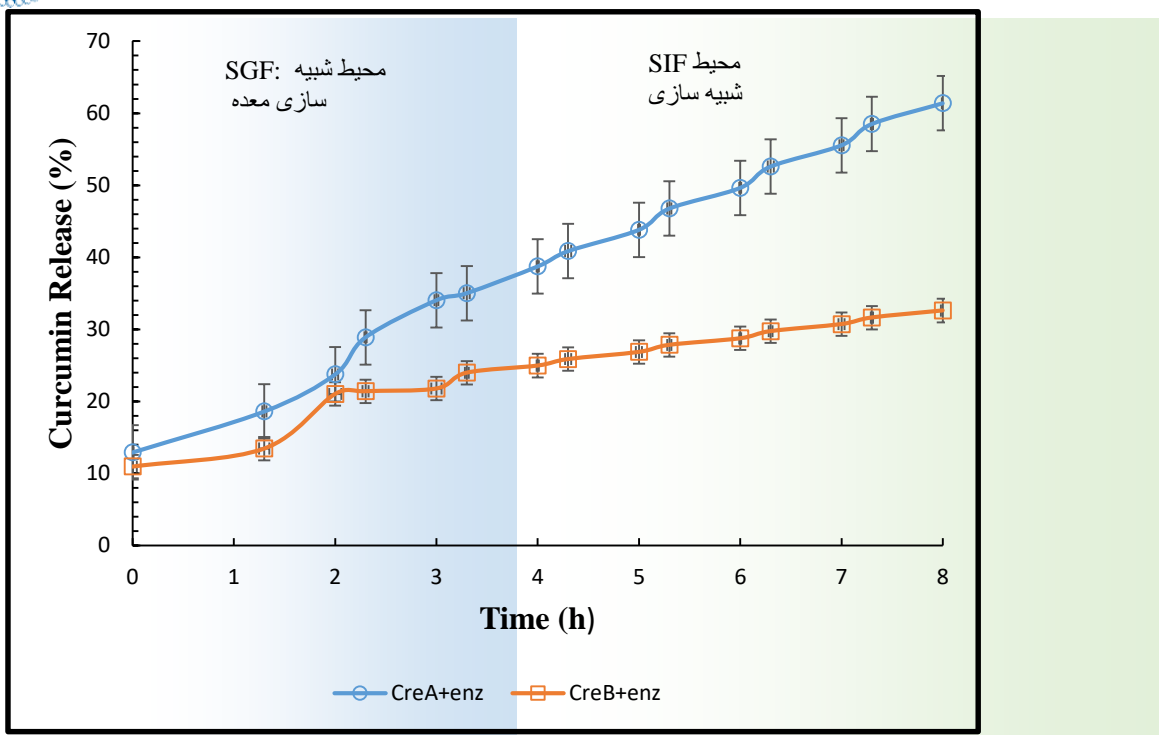
میانگین‌های با بالانویس‌های مختلف در یک ستون به طور قابل توجهی متفاوت هستند.

آنالیز کورکومین توسط طیف‌سنجی فلورسانس

به منظور بررسی در دسترس بودن کورکومین به گروه‌های فلورفور پروتئین، خاموشی فلورسانس پروتئین‌ها در طول موج برانگیخته ۲۸۰ نانومتر مورد بررسی قرار گرفت (شکل ۴). شدت فلورسانس برهمکنش تجمعات پروتئین با کورکومین کاهش یافت. کاهش در شدت فلورسانس اصلی پروتئین بعد از اتصال به کورکومین نسبت داده شد. توانایی کورکومین به عنوان یک لیگاند به اتصال باقیمانده‌های تریپتوфан و تایروزین پروتئین‌ها که در بخش هیدروفوبیک ساختار اولیه پروتئین قرار گرفت (Aliabbasi et al., 2021). طیف فلورسانس هیدروژل پروتئین، کورکومین و موسیلاز ۱۲/۵ درصد در طول موج برانگیخته ۴۲۰ نانومتر، با افزایش شدید شدت فلورسانس در شکل (۴) نشان داده شد (بالاترین شدت (۶۹۰.a.u) ($p < 0.05$)). شدت فلورسانس کورکومین بارگذاری شده در هیدروژل پروتئین و موسیلاز افزایش یافت. این نتایج نشان داد که کورکومین بعد از بارگذاری در هیدروژل پروتئین و موسیلاز، از محیط هیدروفیلیک به محیط هیدروفوبیک انتقال داده شد که این به دلیل برهمکنش کورکومین با مسیرهای هیدروفوبیک مولکول‌های پروتئین است. کورکومین در هسته هیدروژل پروتئین و موسیلاز ۱۲/۵ درصد بود. بنابراین طیف‌سنجی فلورسانس آشکار ساخت که کورکومین بارگذاری شده در هیدروژل پروتئین و موسیلاز با تشکیل پیوندهای هیدروژنی و برهمکنش‌های هیدروفوبیک بین گروه‌های عاملی است (Moghadam et al., 2019). تحقیقات انجام شده بر روی دو پروتئین گرد و لوبيا نیز با نتایج تحقیق حاضر مطابقت دارد (Aliabbasi et al., 2021, Moghadam et al., 2019).



شکل ۴. آنالیز کورکومین در هیدروژل پروتئین و موسیلاز ۱۲/۵ درصد توسط طیف‌سنجی فلورسانس



شکل ۵. نمودار رهایش کورکومین در شرایط شبیه‌سازی شده معده و روده در هیدروژل پروتئین و موسیلاز ۷/۵ درصد در حضور آنزیم‌های پیپسین و پانکراتین(A+enz)، هیدروژل پروتئین و موسیلاز ۱۲/۵ درصد در حضور آنزیم‌های پیپسین و پانکراتین(B+enz).

SGF: Simulated Gastric Fluid

SIF: Simulated Intestinal Fluid

بررسی رهایش کورکومین در هیدروژل‌های بر پایه پروتئین و موسیلاز در شرایط دستگاه گوارش نتایج نشان داد که طی هضم یک ساعته معده، کورکومین محصور شده بسیار پایدار بود و با فعالیت پیپسین در سیستم آزاد نشد و در طی هضم معده، بیش از ۹۰ درصد کورکومین به صورت محصور شده حفظ شد که دلیل آن وجود موسیلاز پلی‌ساقاریدی است که هیدروژل در مقابل هضم آنزیمی مقاوم شد. در شرایط اسیدی معده، هیدروژل‌های پایدار شده با پروتئین دارای میزان زیادی بار مثبت بوده و دافعه الکترواستاتیک قوی بین آن‌ها وجود دارد که از تجمع ذرات جلوگیری می‌کند. ذرات با اندازه کوچک‌تر نسبت سطح به حجم بالاتری داشته و بیشتر در معرض آنزیم پیپسین قرار گرفتند. مولکول‌های موسیلاز دارای یک زنجیره خطی آئیونی هستند بنابراین بیشتر مستعد تجمع قطرات از طریق خنثی کردن بار و اثراتصال هستند. هیدروژل‌های فاقد موسیلاز، بار مثبت کمتری در شرایط معده داشتند و این نشان‌گر این است که علی‌رغم ضعیف بودن جذب الکترواستاتیک بین پروتئین و موسیلاز در pH اسیدی (به علت کاهش جزئی بار منفی روی موسیلاز چیزی مقداری pK_a آن)، موسیلاز تا حدودی روی هیدروژل ثبیت شده با پروتئین باقی می‌ماند و از پروتئین در برابر آنزیم پیپسین محافظت می‌کند (Pinheiro et al., 2016). کورکومین محصور شده در هیدروژل‌های ثبیت شده با پروتئین در طی دو ساعت در هضم معده به صورت پایدار باقی ماند. علت مقاومت هیدروژل در هضم پیپسین را حضور گلوبولین در پروتئین دانستند که به علت داشتن ساختار کروی فشرده، در برابر تخریب در شرایط معده مقاوم است (Sagiri et al., 2015). نتایج حاصل از رهایش کورکومین در محیط شبیه‌سازی شده روده نشان داد که، سرعت رهایش کورکومین در نمونه‌های حاوی ۷/۵ درصد پروتئین و موسیلاز بیشتر از نمونه‌های حاوی ۱۲/۵ درصد پروتئین و موسیلاز بود. با افزایش غلظت پروتئین، سرعت رهایش کورکومین کاهش یافت. ژلی که دارای محتوای پروتئینی بالاتری است یک ساختار شبکه‌ای فشرده با منافذ ریز ایجاد کرد که منجر به آهسته‌تر شدن سرعت رهایش کورکومین شد. با افزایش غلظت پروتئین اندازه منافذ ژل کاهش یافت (Sagiri et al., 2015). محتوای بالای اسید‌گلوتامیک در ترکیب پروتئین دانه چی باعث نیروی دافعه الکترواستاتیکی شدید در pH ۷/۵ شد که نفوذ بافر در شبکه ژل به همراه تخریب ماتریس تسريع شد و باعث رها شدن سریع‌تر در شرایط SIF شد (Shankar et al., 2008). با افزایش غلظت موسیلاز سرعت رهایش کورکومین (به ویژه در غلظت ۱۲/۵ درصد موسیلاز) به مقدار قابل توجهی کاهش یافت. کمترین مقدار رهایش کلی کورکومین مربوط به نمونه (۱۲/۵ درصد موسیلاز) بود. موسیلاز به عنوان بخشی از فاز پیوسته هیدروژل، تاثیر مثبتی روی بهتاخیر انداختن رهایش کورکومین از هیدروژل‌ها در دستگاه گوارش فوقانی داشت. بررسی شد که فرایند هیدروژلیفیکاسیون

منجر به اتصال عرضی گستردۀ پروتئین‌ها از طریق ایجاد پیوندهای آب‌گریز و دی‌سولفیدی جدید شد (Vahedifar et al., 2018). پایداری هیدروژل‌های پروتئین و موسیلاژ در برابر تخریب توسط شرایط ناهموار دستگاه گوارش و آنزیم‌های گوارشی (پیسین و پانکراتین) بهبود یافت. در مطالعه‌ای که توسط دل آرام و همکاران، ۱۴۰۲ انجام شد، تاثیر غلظت پروتئین بر رهایش کورکومین از ژل‌های پروتئینی مورد بررسی قرار گرفت، نتایج نشان داد که افزایش غلظت ایزوله پروتئین آب پنیر از ۵ درصد به ۷ درصد، باعث کاهش رهایش کورکومین در شرایط شبیه‌سازی شده معده از ۲۵ درصد به ۱۹ درصد می‌شود. همچنین، افزودن صمغ قدومه شهری به ژل‌های پروتئین آب پنیر، تاثیر معنی‌داری بر کاهش میزان رهایش کورکومین از هیدروژل‌های مرکب پروتئین-صمغ در شرایط شبیه‌سازی شده معده و روده کوچک تسبیت به هیدروژل‌های پروتئینی داشت (دل آرام و همکاران، ۱۴۰۲). رهایش کورکومین از هیدروژل‌های پروتئین گیاهی پس از دو ساعت انکوباسیون در محیط شبیه‌سازی شده معده ($13/98 \pm 2/36$ درصد) بود. درصد رهایش کورکومین در ۲ ساعت به اوج خود رسید، رهایش تراکمی پس از ۴ ساعت ($25/52 \pm 3/65$ درصد) شد (Gupta et al., 2024). در پژوهشی دیگری که توسط سامچو و همکاران، ۲۰۰۹ انجام شد، رهایش آلفاتوکوفرول همراه با پوشاندن ذرات توسط پلی‌ساقارید نشان گر غلظت‌های بالاتر پلی‌ساقارید باعث محافظت بهتر از آلفا توکوفرول در شرایط هضم معده شد (Somchue et al., 2009).

کیتیک رهایش در شرایط مشابه دستگاه گوارش

برازش آماری داده‌ها نشان داد که در مورد دو سامانه بافری دارای آنزیم، هم مدل درجه صفر و هم مدل کرسمیر – پیاس به نحو بهتری می‌توانند رفتار رهایش سامانه را شرح دهند. ضریب تبیین مدل درجه صفر $0/97$ – $0/90$ و مدل کرسمیر پیاس در بازه $0/99$ – $0/95$ قرار گرفته‌اند (جدول ۴). در شرایط مشابه دستگاه گوارش، توان انتشار مدل کرسمیر – پیاس (n) در منطقه فیک قرار گرفت (طبق جدول ۵). در ارزیابی کیتیک رهایش کافین از هیدروژل کلوئیدوزومی رفتار فیک ملاحظه شد (Amiryousefi et al., 2016). در ارزیابی کیتیک رهایش فاموتیدین از میکروکپسول‌های هیدروژل ساخته شده با یون‌های کلسیم، رفتار فیک مشاهده شد (Tripathi et al., 2012). اثر موسیلاژ بر n در محلول شبیه‌سازی شده معده، معنی‌دار ($p < 0.05$) بود و با افزایش موسیلاژ از $7/5$ درصد به $12/5$ درصد، توان انتشار (n) این سامانه از $0/001$ به $0/000$ کاهش یافت. اثر موسیلاژ بر n در محلول شبیه‌سازی روده معنی‌دار ($p < 0.05$) بود و با افزایش موسیلاژ از $7/5$ درصد به $12/5$ درصد، توان انتشار (n) این سامانه از $0/001$ به $0/000$ کاهش یافت. طبق اطلاعات جدول (۴)، معادله‌های درجه صفر و کرسمیر – پیاس از نظر آماری جهت برآش داده‌های رهایش کورکومین به دلیل ضریب تبیین بالا مناسب می‌باشد. برآش مدل درجه صفر با ضریب تبیین بالا، نشان گر ثابت بودن سرعت رهایش طی زمان (مستقل از غلظت کورکومین) می‌باشد.

جدول ۴. مدل‌سازی کیتیک رهایش کورکومین از هیدروژل‌های پروتئین – موسیلاژ $7/5$ درصد در حضور آنزیم (ب + آنزیم) ساخته شده در محیط‌های معده و روده

نمونه	محیط	مدل درجه صفر	مدل درجه اول	مدل هیگوچی	مدل کرسمیر – پیاس	آنزیم (ب + آنزیم) ساخته شده در محیط‌های معده و روده					
						ثابت	ضریب تبیین	ثابت	ضریب تبیین	ثابت	ضریب تبیین
RMSE	N	توان انتشار با نقطه گراف	ثابت	ضریب تبیین	ثابت	ضریب تبیین	ثابت	ضریب تبیین	ثابت	ضریب تبیین	ثابت
		K _{kp}	R ²	K _H	R ²	K _I	R ²	K _o	R ²		
۴۳/۴۲	۰/۰۰۱ ^b	۰/۳۴ ^c	۰/۹۹	۰/۱۹ ^b	۰/۸۹	۰/۰۰۱۱ ^a	۰/۷۹	۰/۱۱ ^a	۰/۹۷	آ+آنزیم	معده
۲۱/۷۲	۰/۰۰۰ ^f	۰/۲۱ ^e	۰/۹۵	۰/۱۲ ^d	۰/۸۸	۰/۰۰۰۷ ^c	۰/۹۳	۰/۰۷ ^b	۰/۹۲	ب+آنزیم	معده
۶۰/۷۱	۰/۰۰۳ ^a	۰/۶۱ ^a	۰/۹۹	۰/۲۱ ^a	۰/۹۰	۰/۰۰۰۸ ^b	۰/۷۲	۰/۰۷ ^b	۰/۹۳	آ+آنزیم	روده
۲۷/۳۰	۰/۰۰۱ ^b	۰/۳۲ ^d	۰/۹۵	۰/۱۱ ^e	۰/۸۹	۰/۰۰۰۴ ^e	۰/۹۰	۰/۰۴ ^d	۰/۹۰	ب+آنزیم	روده

حروف متفاوت در داده‌های هر ستون نشان گر اختلاف آماری معنی‌دار است ($p < 0.05$).

جدول ۵. مکانیزم انتقال بر اساس توان انتشار در معادله کرسمیر – پیاس

مکانیزم انتقال	توان انتشار (n)
انتشار فیک	$0.45 \leq n$
انتقال غیرفیک (انتشار و فرسایش)	$0.45 < n < 0.89$
انتقال نوع دوم (فرسایش) ^۱	$n \geq 0.89$



نتیجه‌گیری کلی

هیدروژل‌های ساخته شده تنها از پروتئین و موسیلاز دارای بافت و استحکام ضعیف هستند و برای افزایش استحکام آن‌ها در این پژوهش از روش ترکیب پروتئین و موسیلاز استفاده شد. موسیلاز دانه چیا به عنوان عامل قوام‌دهنده در شکل‌گیری هیدروژل نقش دارد و بنابراین امکان تشکیل هیدروژل جامد با پایه پروتئین به روش سرد می‌باشد. در این پژوهش، از غلظت‌های مختلف پروتئین و موسیلاز برای تولید هیدروژل به روش سرد استفاده گردید. با توجه به نتایج بافت‌سنگی، افزایش غلظت پروتئین و موسیلاز تاثیر مثبتی بر خصوصیات بافتی هیدروژل‌ها داشته است. بطوریکه با افزایش غلظت پروتئین و موسیلاز از $12/5$ درصد به $12/5$ درصد، سفتی ژل از $1/95$ نیوتون به $1/75$ نیوتون افزایش یافت. بنابراین نمونه حاوی $12/5$ درصد پروتئین و موسیلاز دارای بهترین ویژگی‌های بافتی است.

کورکومین بارگذاری شده در هیدروژل پروتئین و موسیلاز $12/5$ درصد، پایداری بهتری به کورکومین آزاد در حین عملیات حرارتی و نوری دارد. در هیدروژل پروتئین و موسیلاز $12/5$ درصد، بالاترین استحکام مکانیکی و کارایی درونپوشانی کورکومین را نشان داد.

نتایج مربوط به رهایش کنترل شده در شرایط آزمایشگاهی نشان داد که مقدار کلی رهایش کورکومین در طی هضم معده - روده‌ای برای نمونه حاوی $7/5$ درصد پروتئین و موسیلاز، $60/71$ درصد و برای نمونه حاوی $12/5$ درصد پروتئین و موسیلاز، $27/30$ درصد بود. بنابراین هیدروژل‌های پروتئین و موسیلاز، مانع از انتشار و تخریب کورکومین بارگذاری شده در دستگاه گوارش فوقانی شدند. از این رو هیدروژل‌ها برای تحويل ترکیبات زیستی به روده بزرگ مناسب می‌باشند. رهایش کورکومین از سیستم حامل هیدروژل در تمام دو فاز دستگاه گوارش (معده و روده کوچک) براساس مکانیسم انتشار فیک رخ داده بود.

سپاسگزاری

بدین وسیله از حمایت مالی دانشگاه فردوسی مشهد در انجام این تحقیق تشکر و قدردانی می‌شود.

منابع

- جلالی، مریم (۱۳۹۷). درونپوشانی کورکومین درون میسل‌های کازئین شیر شتر و تولید پودر از ذرات تولیدی. پایان‌نامه کارشناسی ارشد. بهراهنمایی مریم سلامی. کرج: دانشگاه تهران، دانشکده کشاورزی و منابع طبیعی.
- دل‌آرام، بیتا (۱۴۰۲). بررسی امکان تولید هیدروژل پروتئین آب پنیر- صفحه قدمه شهری به روش انعقاد سرد به منظور درونپوشانی کورکومین، پایان‌نامه کارشناسی ارشد، بهراهنمایی آرش کوچکی. مشهد: دانشگاه فردوسی مشهد، دانشکده کشاورزی.
- قدسی فریمانی، فریبا (۱۳۹۷). نانومولسیون طبیعی کورکومین: سنتز، شناسایی و بررسی حلالیت، پایداری، فعالیت آنتی‌اکسیدانی و سمیت سلولی، رساله دکتری، بهراهنمایی محمدرضا حسین‌دخت. مشهد: دانشگاه فردوسی مشهد، دانشکده علوم پایه.
- موسوی باگی، سیده فاطمه؛ کوچکی، آرش؛ قرانی، بهروز و محبی، محبت (۱۴۰۲). توسعه و ارزیابی خصوصیات لیپوزوم بهینه‌سازی شده جهت درون پوشانی کورکومین. نشریه پژوهش‌های علوم و صنایع غذایی ایران، ۱۹(۱)، ۵۷-۷۸.

REFERENCES

- Alavi, F., Emam – Djomeh, Z., Yarmand, M. S., Salami, M., Momen, S., & Moosavi – Movahedi, A. A. (2018). Cold gelation of curcumin loaded whey protein aggregates mixed with k – carrageenan: Impact of curcumin loaded whey protein aggregates mixed with k – carrageenan, Impact of gel Microstructure on the gastrointestinal fate of curcumin. *Food Hydrocolloids*. 85, 267–280. <https://doi.org/10.1016/j.foodhyd.2018.07.012>
- Aliabbasi, N., Emam – Djomeh, Z., Askari, G., & Salami, M. (2021). Pinto bean protein – based acid – induced cold – set gels as carriers for curcumin delivery Fabrication and characterization. *Food Hydrocolloids for Health*. 1(100035). <https://doi.org/10.1016/j.fhfh.2021.100035>
- Amiryousefi, M. R., Mohebbi, M., Golmohammadzadeh, S., & Koocheki, A. (2016). Encapsulation of caffeine in hydrogel colloidosome: optimization of fabrication, characterization and release kinetics evaluation. *Flavour and fragrance journal*. 31(2), 163 – 172. <https://doi.org/10.1002/ffj.3297>
- Ansari, M. J., Ahmad, S., Kohli, K., Ali, J., & Khar, R. K. (2005). Stability-indicating HPTLC determination of curcumin in bulk drug and pharmaceutical formulations. *Journal of pharmaceutical and biomedical analysis*. 39 (1-2), 132-138. <https://doi.org/10.1016/j.jpba.2005.03.021>
- Appendino, G., Allegrini, P., Combarieu, E.D., Novicelli, F., Ramaschi, G., Sardone, N. (2022). Shelling

- light on curcumin stability. *Fitoterapia*. 156, 105084. <https://doi.org/10.1016/j.fitote.2021.105084>
- Boyé, J.I., Aksay, S., Roufik, S., Ribéreau, S., Mondor, M., Farnworth, E., & Rajamohamed, S.H. (2010). Comparison of the functional properties of pea, chickpea and lentil protein concentrates processed using ultra filtration and isoelectric precipitation techniques. *Journal of Food Research International*. 43, 537–546. <https://doi.org/10.1016/j.foodres.2009.07.021>
- Delaram, B. (2023). Exploring the possibility of producing cold-set whey protein- *Lepidium perfoliatum* seed gum hydrogel for curcumin encapsulation (*Master's thesis, Ferdowsi University, Mashhad*). Retrieved from previous Theses.
- Guo, Q., Bayram, I., Zhang, W., Su, J., Shu, X., Yuan, F., Mao, L., & Gao, Y. (2020). Fabrication and characterization of curcumin - loaded pea protein isolate - surfactant complexes at neutral pH. *Food Hydrocolloids*. 106214.1 - 48. <https://doi.org/10.1016/j.foodhyd.2020.106214>
- Gupta, S., Ghoshal, G. (2024). Plant protein hydrogel as a delivery system of curcumin: Characterization and in vitro release kinetics. *Journal of Food and Bioproducts Processing*. 143.66-79. <https://doi.org/10.1016/j.fbp.2023.10.007>
- Hsieh, K.C., Lin, T.C., & Kuo, M. I. (2022). Effect of whole chia seed flour on gelling properties, microstructure and texture modification of tofu. *Food Science and Technology*. 154, 1-9. <https://doi.org/10.1016/j.lwt.2021.112676>
- Jalali, M. (2017). Encapsulation of curcumin inside the casein micelles of camel milk and production of powder from the produced particles (*Master's thesis, Tehran University, Karaj*). Retrieved from previous Theses.
- Katunzi-Kilewela, A., Kaale, L. D., Kibazohi, O., & Rweyemamm, L.M.P. (2021). Nutritional, health benefits and usage of chia seeds (*Salvia hispanica*): *African Journal of Food Science*. 15(2), 48-59.
- Kazemi – Taskooh, Z., Varidi, M. (2021). Designation and characterization of cold – set whey protein – gellan gum hydrogel for iron entrapment. *Food Hydrocolloids*. 111, 106205: 1–60.
- Kim, Y.H., Furuya, H., & Tabata, Y. (2014). Enhancement of bone regeneration by the dual release of a Macrophage recruitment agent and platelet-rich plasma from gelatin hydrogels. *Biomaterials*. 35, 214-224.
- Kuhn, K. R., Cavallieri, A. L. F., & Da Cunha, R. L. (2010). Cold-set whey protein gels induced by calcium or sodium salt addition. *International journal of food science & technology*. 45(2), 348-357. <https://doi.org/10.1111/j.1365-2621.2009.02145.x>.
- Lee, B.H., Choi, H.A., Kim, M.R., Hong, J. (2013). Changes in chemical stability and bioactivities of curcumin by ultraviolet radiation. *Journal of Food Science and Biotechnology*. 22, 279-282. <https://doi.org/10.1007/s10068-013-0038-4>
- Liu, F., Li, R., Mao, L. Y., & Gao, L. (2018). Ethanol-induced composite hydrogel based on propylene glycol alginate and zein: Formation, characterization and application, *Food chemistry*. 255, 390-398. <https://doi.org/10.1016/j.foodchem.2018.02.072>
- Maltais, A., Remondetto, G. E., Gonzalez, R., & Subirade, M. (2005). Formation of soy protein isolate cold-set gels: Protein and salt effects. *Journal of food science*. 70(1), C67-C73. <https://doi.org/10.1111/j.1365-2621.2005.tb09023.x>
- Marin Flores, F.M., Acevedo, M.J., Tamez, R.M., Nevero, M.J., & Garay, A.L. (2008). *World International Property Organization*. Method for obtaining mucilage from *Salvia hispanica* L. Mexico.WO / 2008 / 0044908.
- Moghadam, M., Salami, M., Mohammadian, M., Delphi, L., Sepehri, H., Emam - Djomeh, Z., & Moosavi-Movahedi, A.A. (2019). Walnut protein - curcumin complexes: fabrication, structural characterization, antioxidant properties, and in vitro anticancer activity, *Journal of Food Measurement and Characterization*. <https://doi.org/10.1007/s11694-019-00336-9>
- Moghaddasi Farimani, F. (2018). Natural nanoemulsion curcumin: preparation and characterization of solubility, stability, antioxidant activity and toxicity assessment (*Ph.D. 's thesis, Ferdowsi University, Mashhad*). Retrieved from previous Theses.
- Mohammadian, M., Salami, M., Momen, S., Alavi, F., & Emam - Djomeh, Z. (2019). Fabrication of curcumin - loaded whey protein microgels: Structural properties, antioxidant activity, and in vitro release behavior, *LWT –Food Science and Technology*. 103, 94-100. <https://doi.org/10.1016/j.lwt.2018.12.076>
- Mousavi Baygi, S.F., Koocheki, A., Ghorani, B., & Mohebbi, M. (2023). Evaluation of Behavior and Modeling of Curcumin Release from Liposomes under Simulated Gastrointestinal Laboratory Conditions. *Iranian Food Science and Technology Research Journal*. 57-78. [in Persian].
- Peng, H., Xiong, H., Li, J., Xie, M., Liu, Y., Bai, C., & Chen, L. (2010). Vanillin cross – linked chitosan microspheres for controlled release of resveratrol. *Food Chemistry*. 121(1), 23–28. <https://doi.org/10.1016/j.foodchem.2009.11.085>



- Pinheiro, A.C., Coimbra, M.A., & Vicente, A.A. (2016). In vitro behaviour of curcumin nanoemulsions stabilized by biopolymer emulsifiers – Effect of interfacial composition. *Food Hydrocolloids*. 52, 460–467. <https://doi.org/10.1016/j.foodhyd.2015.07.025>
- Rafiee, Z., Nejatian, M., Daeihamed, M., & Jafari, S.M. (2018). Application of different nanocarriers for encapsulation of cumrcumin. *Critical Reviews in Food Science and Nutrition*. <https://doi.org/10.1080/10408398.2018.1495174>.
- Sagiri, S. S., Singh, V. K., Kulanthaivel, S., Banerjee, I., Basak, P., Battachrya, M. K., & Pal, K. (2015). Stearate organogel – gelatin hydrogel based bigels: Physicochemical, thermal, mechanical characterizations and in vitro drug delivery applications. *Journal of the mechanical behavior of biomedical materials*. 43, 1–17. <https://doi.org/10.1016/j.jmbbm.2014.11.026>
- Saha, D. and Bhattacharya, S. (2010). Characteristics of gellan gum based food gel. *Journal of Texture Studies*. 41: 459-471. <https://doi.org/10.1111/j.1745-4603.2010.00236.x>
- Sanderson, G.R. 1990. Gellan gum. In P. Harris, *Food gels*.
- Saze-Plaze, P., Navas, M.J., Wybraniec, S., Michalowski, T., & Asuero, A.G. (2013). An overview of the Kjeldahl method of nitrogen determination. Part II. Sample preparation, working scale, in strumental Finish, and quality control. *Critical Reviews in Analytical Chemistry*. 43(4), 224-272. <https://doi.org/10.1080/10408347.2012.751787>
- Shankar, S., Ganapathy, S., Chen, Q., & Srivastava, R. K. (2008). Curcumin sensitizes TRAIL – resistant xenografts: Molecular mechanisms of apoptosis, metastasis and an- giogenesis. *Molecular Cancer*. 7(1), 16. <https://doi.org/10.1186/1476-4598-7-16>
- Somchue, W., Sermsri, W., Shiowatana, J., & Siripinyanond, A. (2009). Encapsulation of α – tocopherol in rotein – based delivery particles. *Food Research International*. 42, 909–914. <https://doi.org/10.1016/j.foodres.2009.04.021>
- Tripathi, R., & Mishra, B. (2012). *AAPS PharmSciTech*. 13. 1091.
- Vahedifar, A., Madadlou, A., & Salami, M. (2018). Influence of seeding and stirring on the structural properties and formation yield of whey protein microgels. *International Dairy Journal*. 79, 43–51. <https://doi.org/10.1016/j.idairyj.2017.12.003>
- Wang, C., liu, Z., Xu, G., Yin, B., & Yao, P. (2016). Preparation and Characterization of chia seed protein isolate - chia seed gum complex coacervates. *Food Hydrocolloids*. 52, 554-563. <http://dx.doi.org/10.1016/j.foodhyd.2015.07.033>
- Wang, Y., Sun, R., Xu, X., Du, M., Zhu, B. (2021). Structural interplay between curcumin and soy protein to improve the water- solubility and stability of curcumin. *International Journal of Biological Macromolecules*. 193, 1471-1480. <https://doi.org/10.1016/j.ijbiomac.2021.10.210>
- Xu, D., Aihemaiti, Z., Cao, Y., Teng, C., and Li, X. 2016. Physicochemical stability, micro rheological properties and microstructure of lutein emulsions stabilized by multilayer membranes consisting of whey protein isolate, flax seed gum and chitosan. *Food Chem.* 202: 156–164. <https://doi.org/10.1016/j.foodchem.2016.01.052>
- Yang, J., Zhou, Y., & Chen, L. (2017). Elaboration and characterization of barley protein nanoparticles as an oral delivery system for lipophilic bioactive compounds. *Food & unction*. 5, 92-101. <https://doi.org/10.1016/j.foodhyd.2016.07.023>
- Zheng, B., Zhang, Z., Chen, F., Luo, X., & McClements, D.J. (2017). Impact of delivery system type on curcumin stability: Comparison of curcumin degradation in aqueous solutions, emulsions, and hydrogel beads. *Food Hydrocolloids*. 71, 187-197. <https://doi.org/10.1016/j.foodhyd.2017.05.022>
- Zheng, B., & McClements, D.J. (2020). Formulation of More Efficacious Curcumin Delivery Systems Using Colloid Science: Enhanced Solubility, Stability, and Bioavailability. *Molecules*. 25(12), 2791. <https://doi.org/10.3390/molecules25122791>

Encapsulation of curcumin by chia seed protein and mucilage hydrogels: Evaluation of stability and kinetic release

EXTENDED ABSTRACT

Introduction

Curcumin is a lipophilic bioactive ingredient found in turmeric. Due to its excellent antioxidant properties and high safety curcumin is known to possess anti-cancer and anti-microbial properties. However, curcumin is insoluble in water and has low stability and low bio-availability. Also, curcumin in the presence of light, heat, and oxygen is unstable and undergoes degradation via oxidation and isomerization. To overcome these problems, many researchers employed curcumin in carriers, such as nanoparticles and hydrogels. Among various delivery systems, hydrogels stand out for their ability to encapsulate, load, and release bioactive compounds. The swelling body known as a hydrogel is suited for use as a flexible material due to its high-water content and softness. They are employed in the food industry as carriers for bioactive substances because of their good biodegradability, and specific biological activity. So, encapsulation of biologically active ingredients in hydrogels with uniform network structures can improve their stability and bio-availability. For bioactive delivery, natural food-grade polymers such as proteins or polysaccharides are used as building blocks of hydrogels. Proteins, as natural biopolymers, are secure and inexpensive carriers for the loading of curcumin with high nutrition value. According, in this research, chia protein was used as a carrier for the encapsulation of curcumin. Due to the weak mechanical characteristics of protein-based cold-set hydrogels and their sensitivity to enzymatic degradation, scientists have concentrated on developing protein/polysaccharide binary gels. Chia mucilage is a hydrophilic heteropolysaccharide. Chia mucilage can be employed as an encapsulating agent of probiotics. Our main aim was to determine whether encapsulation affects the release of curcumin from the delivery system and to study the release kinetics of curcumin in simulated gastrointestinal situations.

Materials and Methods

Chia seeds were purchased from Jam Noor Talai Company Iran and kept at room temperature. In the Transfer Phenomena Lab, mucilage and protein isolates were extracted and purified. Protein solutions were prepared by dissolving in double-distilled water for 2 hours at room temperature while using magnetic stirring to achieve various protein concentrations (7.5%, 10%, 12.5%, 15%, 20%, 25%, and 30% w/v). Furthermore, solutions were created by using a magnetic stirrer for 2 hours while adding the mucilage stock solution at various concentrations (7.5%, 10%, 12.5%, 15%). The solutions' pH was raised to 7.3 ± 0.12 with 1 M NaOH, followed by an overnight chill in the fridge to complete hydration. The protein and mucilage solutions were heated at 90 °C for 20 minutes the next day. As a result, tap water was used to bring the vials' temperature down to room temperature. They were stored in the refrigerator for 24 hours. A curcumin suspension with a concentration of 80 mg/mL was prepared in 50 % aqueous ethanol solution. The final ratio of curcumin to protein is 1:350 (w/w). The mixture was stirred on a magnetic stirrer for 1 hour at room temperature.

Results and Discussion

The results indicated that the gel made with 12.5% protein and 12.5% mucilage exhibited better mechanical properties, so it was selected for curcumin recovery and other evaluations. The encapsulation efficiency and loading amount of curcumin in chia protein isolate and mucilage were $90.15 \pm 0.05\%$ and $9.76 \pm 0.08 \mu\text{g}.\text{mg}^{-1}$, respectively. The instability index of protein and mucilage hydrogel 12.5 % was smaller than the instability index of free curcumin and it indicates better stability of curcumin in the protein and mucilage hydrogel 12.5%. The mean diameter by volume and the number of particles during the time after the heating process at pH 7 in protein, curcumin, and mucilage hydrogel 12.5% decreased. However, the polydispersity indices of protein and mucilage hydrogel solutions were significantly affected by curcumin loading ($p < 0.05$).

Conclusion

Our study indicated that chia seed protein isolates /chia seed mucilage gels had high entrapment efficiency and could preserve curcumin in the upper gastrointestinal tract. The results of release in vitro conditions showed that the overall release of curcumin during gastrointestinal digestion for the sample containing 7.5% protein and mucilage was 60.71% and for the sample containing 12.5% protein and mucilage was 27.30%. Therefore, protein hydrogels and mucilage can prevent the spread and demolition of curcumin loaded in the upper gastrointestinal tract. Hydrogels are therefore useful in delivering biological compounds to the colon.